

مقاوم‌سازی Midori64 در مقابل حمله تحلیل توان همبستگی*

حمید قنبری^{۱*}، بهروز خادم^۲ و محمد جدیدی^۲

^۱دانشکده و پژوهشکده برق، مخابرات و جنگال، دانشگاه جامع امام حسین(ع)، تهران، ایران
^۲دانشکده و پژوهشکده کامپیوتر و قدرت سایبری، دانشگاه جامع امام حسین(ع)، تهران، ایران

اطلاعات مقاله

کلمات کلیدی:

امنیت اینترنت اشیا

رمز سبک‌وزن Midori64

حمله تحلیل توان همبستگی

نقاب‌گذاری

doi: 10.1001.1.24763047.1401.11.1.5.2

نوع مقاله: پژوهشی

چکیده

کاربرد رمزهای سبک‌وزن و کم مصرف در اینترنت اشیا اجتناب ناپذیر شده است. اخیراً Midori64 به دلیل مصرف توان بسیار کم در بین سایر رمزهای سبک‌وزن مورد توجه زیادی قرار گرفته است. امنیت Midori64 از طرف حملات مختلفی از جمله حملات کانال جانبی مورد تهدید قرار گرفته است. یکی از انواع حملات کانال جانبی حمله تحلیل توان همبستگی است که در آن مهاجم با استفاده از نشت توان تراشه رمزنگاری و در حین اجرای الگوریتم، داده‌ی در حال پردازش و عملیات در حین اجرا می‌تواند کلید رمزنگاری را کشف کند. نقاب‌گذاری در برابر حملات تحلیل توان به عنوان یکی از موثرترین روش‌های مقاوم‌سازی الگوریتم‌های رمزنگاری شناخته شده است. هدف از نقاب‌گذاری بر هم زدن رابطه بین مصرف و عملیات در حال انجام است. در این مقاله یک نسخه پیاده‌سازی شده رمز Midori64 روی میکروکنترلر AVR مدل Atmega32 مورد حمله تحلیل توان همبستگی قرار گرفته و کلید رمزنگاری با ۳۰۰ بلوک متن اصلی کشف شده است. پس از مقاوم‌سازی Midori64 با روش نقاب‌گذاری بولی، مجدداً این حمله انجام شده و نتایج به دست آمده از آزمایشات نشان داده که روش نقاب‌گذاری بولی می‌تواند مانع کشف کلید شود.

© ۱۴۰۱ انجمن رمز ایران

۱ مقدمه

همراه با گسترش فناوری اینترنت اشیا تهدیدات امنیتی متعددی برای آن به وجود آمده است [۱]. استفاده از فناوری‌های نظیر RFID و WSN در اینترنت اشیا که مستلزم محدودیت توان و حافظه مصرفی هستند، ایجاد می‌کند که برای رفع این تهدیدات از طرح‌های رمزنگاری سبک وزن استفاده شود.

تا کنون تحقیقات زیادی در زمینه طراحی و پیاده‌سازی رمزهای سبک‌وزن با مصرف پایین توان صورت گرفته است [۲-۶]. اخیراً نشان داده شده است که در بین رمزهای سبک‌وزن موجود، رمز Midori64 پایین‌ترین مصرف توان را دارد [۷]. این نکته اهمیت بررسی امنیت رمز Midori64 را به صورت مضاعف افزایش می‌دهد.

یکی از تهدیدات مهم رمزهای سبک وزن از جمله Midori64، از دیدگاه امنیت سخت‌افزار حملات کانال جانبی هستند [۸]. در حمله کانال جانبی از نوع حمله توان همبستگی، با استفاده از تحلیل نشت جانبی توان تراشه در حال اجرای رمزنگاری، به اطلاعات مخفی رمز از جمله کلید دست می‌یابند. برای مقابله با این حملات روش‌های مقاوم‌سازی متفاوتی بر مبنای نقاب‌گذاری ارائه شده است. معمولاً جعبه‌های جانمایی نقاب،

*از کمیته علمی هجدهمین کنفرانس بین‌المللی انجمن رمز ایران برای داوری این مقاله تشکر می‌شود.

*نویسنده مسئول

آدرس‌های رایانه: 9714109245@ihu.ac.ir (حمید قنبری)،
bkhadem@ihu.ac.ir (بهروز خادم)، mohammad.jadidi@gmail.com (محمد جدیدی)

© ۱۴۰۱ تمامی حقوق متعلق به انجمن رمز ایران است.

نرم افزار باشد، مقاوم سازی رمز در برابر حملات نیز از دو جهت مقاوم سازی در برابر حملات مربوط به پیاده سازی نرم افزاری و مربوط به پیاده سازی سخت افزاری قابل تأمل است. سه روش نمان سازی، نقاب گذاری و پیاده سازی آستانه ای برای مقاوم سازی رمز در برابر حملات تحلیل توان وجود دارد. تفاوت اصلی نمان سازی و مقاوم سازی در نحوه از بین بردن وابستگی بین توان مصرفی تراشه و کلید است. در نمان سازی با از بین بردن ویژگی توان مصرفی تراشه به این امر دست می یابند اما در نقاب گذاری با تصادفی سازی مقادیر میانی به این هدف می رسند. با طرح شدن گلیچ در سال ۲۰۰۵ [۱۵] و تأثیر آن روی سامانه های رمزنگاری سخت افزاری و نیز غیر مؤثر بودن آن در مورد سامانه های رمزنگاری نرم افزاری، موجب شد تا موضوع مقاوم سازی در برابر حملات کانال جانبی در شاخه نرم افزار و سخت افزار از هم جدا شوند. وجود گلیچ سبب می شود حتی با نقاب گذاری طرح اطلاعات مخفی نماند. برای حل این مساله در سال ۲۰۰۶ یک روش مقاوم سازی در برابر حملات تحلیل توان به نام پیاده سازی آستانه ای توسط نیکووا و همکاران [۱۶] مطرح شد. این روش مبتنی بر استفاده از سهم نمان^۳ [۱۷، ۱۸]، رمزنگاری آستانه ای [۱۹] و پروتکل های محاسباتی چندجانبه^۴ [۲۰] است.

مرادی و همکاران (۲۰۱۶) [۲۱] پس از ارائه ی یک روش پیاده سازی آستانه ای، با استفاده از این روش به پیاده سازی سخت افزاری رمز Midori پرداختند.

کورون (۲۰۱۴) از یک روش نقاب گذاری جدید برای رمزهای قالبی استفاده کرد [۱۰]. این روش تعمیمی از جدول تصادفی کلاسیک نقاب گذاری مرتبه اول بود. او در این مقاله کارآمدی و امنیت این روش را برای رمز AES در مقابل حملات کانال جانبی مراتب بالاتر اثبات کرد.

شهمیرزادی و همکاران (۲۰۲۱) [۲۲] یک روش مقاوم سازی به وسیله پیاده سازی آستانه ای ارائه کردند. آن ها در این مقاله یک روش برای نقاب گذاری مرتبه $d + 1$ طراحی کردند که می توانست در یک حالت خاص مقاوم سازی، بدون نیاز به عدد تصادفی جدید، امنیت را ایجاد کند. همچنین این مقاوم سازی فقط با دو سهم پیاده سازی می شد که نسبت به سایر روش های پیاده سازی آستانه ای سربار کمتری داشت. آن ها برای بررسی درستی این روش آن را بر روی جعبه جانمایی چند طرح رمزنگاری از جمله Midori64 پیاده سازی کردند. آن ها برای بررسی نحوه نشستی در حملات از ابزار برخط^۵ سیلور^۶ استفاده کردند [۲۳].

پس از بررسی تحقیقات مطرح شده در این بخش و انجام آزمایشات، می توان گفت علت ضعف رمز Midori64 در برابر حملات تحلیل توان نوع ترکیب کلید، رمز ورودی و جعبه جانمایی است. این نوع ترکیب کلید با جعبه جانمایی و متن اصلی باعث به وجود آمدن رابطه بین توان مصرفی واقعی تراشه و توان مصرفی فرضی می شود. البته طراح رمز برای پیچیده تر کردن ترکیب کلید و متن اصلی از یک XOR اضافه با عددی

قبل از شروع رمزنگاری محاسبه شده یا به صورت برون خط^۱ تولید و در RAM/ROM ذخیره می شوند [۹]. بسیاری از روش های ارائه شده برای نقاب گذاری، ناکارآمد، پرهزینه و آسیب پذیر در برابر حملات تحلیل توان مراتب بالاتر هستند. اما تعداد نمونه توان اندازه گیری شده جهت اجرای حمله تحلیل توان را بالا می برند. جدول نقاب از پیش محاسبه شده، مناسب رمزهایی هست که جعبه های جانمایی یکسان دارند. رمز Midori64 نیز در هر دور ۱۶ جعبه جانمایی یکسان دارد. با این حال، این روش پیش محاسبه به طور قابل توجهی زمان کل رمزنگاری را افزایش می دهد. جعبه نقاب دار به طور معمول برای هر عملیات رمزنگاری مجدداً محاسبه می شود و زمان این پیش محاسبات جعبه جانمایی می تواند به اندازه زمان انجام عملیات AES باشد، اگر از آن طولانی تر نباشد [۸، ۱۰]. علاوه بر این، استفاده مجدد از نقاب در هنگام پیش محاسبه جعبه جانمایی امکان حملات افقی^۲ را فراهم می کند، که از تعداد زیاد نمونه ها برای بازیابی نقاب، استفاده می کند [۱۱، ۱۲].

۱.۱ مرور تحقیقات مرتبط

پس از ارائه رمز Midori64 و بررسی برخی حملات نظری مرتبط با آن [۲] تحقیقات زیادی برای بررسی امنیت این رمز از جهات متعدد ارائه شده است. از آنجا که امروزه صرفه جویی در منابع و توان مصرفی در اینترنت اشیا اهمیت مضاعفی یافته است، بررسی این رمز با توجه به مصرف پایین توان ضرورت بیشتری دارد.

هوسر و همکاران (۲۰۱۷)، اولین تحقیق مرتبط با حملات تحلیل توان به رمز Midori64 را انجام دادند [۱۴]. آن ها در این مقاله چند رمز سبک وزن را مورد بررسی امنیتی در برابر حملات تحلیل توان قرار دادند. در این مقاله حملات non-profiled و profiled روی دور اول و آخر این رمزها انجام شد. مولفین مقاله در حمله non-profiled به دور اول رمزهای AES، Zorro، Robin، Led، Midori64، Mysterion، Klein، Piccolo، Present، Pride، Rectangle و skinny، متوجه شدند که بین جعبه های جانمایی ۸ بیتی تفاوتی در مقاومت در برابر حمله تحلیل توان وجود ندارد، اما جعبه های ۴ بیتی در رمزهای Midori64 و Klein عموماً مقاومت بیشتری در برابر حملات تحلیل توان دارند. آن ها همین حملات را به روش profiled و با استفاده از تکنیک یادگیری ماشین نیز انجام دادند.

یوشیکاوا و همکاران (۲۰۱۷) رمز Midori64 را مورد حمله ی تحلیل الکترومغناطیسی قرار دادند و توانستند با ۱۸۰۰۰ نمونه توان به کلید رمزنگاری دست پیدا کنند [۷].

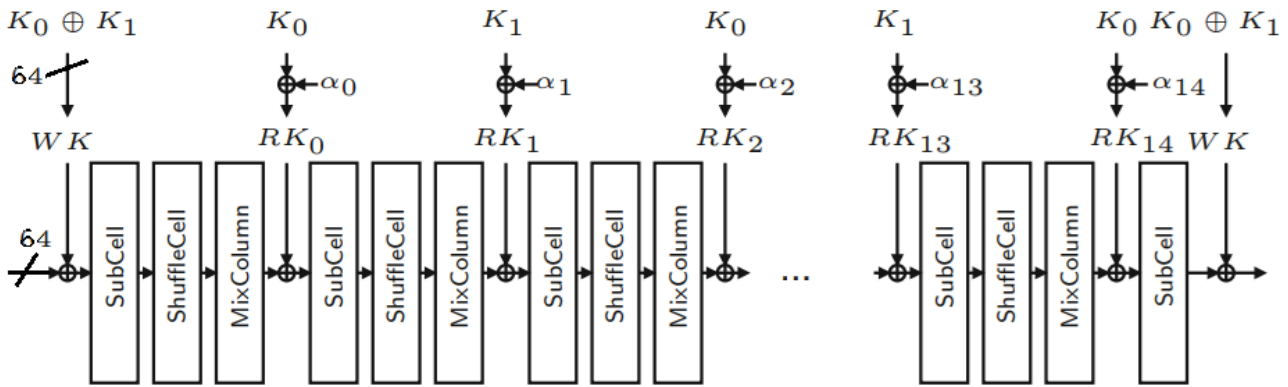
علاوه بر تحقیق در مورد حملات کانال جانبی به رمز Midori64، در راستای مقاوم سازی این رمز نیز تحقیقاتی صورت گرفته است، که پس از بیان مختصر توضیحی راجع به انواع روش های مقاوم سازی به بیان چند مورد از آن ها پرداخته می شود.

با توجه به اینکه پیاده سازی الگوریتم رمز می تواند بر روی سخت افزار یا

³secret sharing ⁴multi-party computation protocols ⁵online ⁶SILVER

(Statistical Independence and Leakage Verification)

¹off-line ²horizontal



شکل ۱. بلوک دیاگرام رمز Midori64 [۲]

در مؤلفه‌های غیرخطی رمز (جعبه جانشانی) نیازمند تلاش بیشتری است. رایج‌ترین نوع نقاب‌گذاری، نقاب‌گذاری بولی و جمعی است. در این نوع نقاب‌گذاری ورودی هر مرحله با مقدار نقاب جمع می‌شود. در آن دسته از پیاده‌سازی‌های نرم‌افزاری جعبه جانشانی، که جعبه در قالب یک جدول جست و جو (S) پیاده‌سازی می‌شود، اگر مقدار نقاب با ورودی جعبه جمع شود، خروجی جدیدی تولید می‌شود که اشاره به خانه‌ی دیگری از حافظه می‌کند و در نتیجه متن رمزی خروجی را تغییر می‌دهد. بنابراین لازم است زمانی که مقدار نقاب (n) به ورودی جعبه (x) افزوده می‌شود، جدول S مجدداً محاسبه شود. به عبارت دیگر اگر $x+n$ ورودی جدول S باشد، باید خروجی جعبه برابر با $y = S(x+n) + m$ شود. بنابراین ما به یک جدول جدید به نام S' نیازمند هستیم به طوری که رابطه (۱) برقرار باشد [۲۴].

$$S'(x+n) = S(x) + m = y + m \quad (1)$$

در ادامه به دو روش متفاوت برای انجام این کار اشاره می‌شود. در روش اول چنانچه برای هر ورودی از نقاب متفاوتی استفاده شود نیاز است بعد از هر تغییر نقاب S' دوباره محاسبه شود. در این روش پیش‌محاسبه‌ی جعبه جانشانی برای هر مقدار تصادفی، بار محاسباتی را افزایش می‌دهد و از کارایی سیستم می‌کاهد. همچنین در Midori64 استفاده از یک نقاب ثابت برای ۱۶ جعبه جانشانی سبب می‌شود خروجی‌های جعبه‌های جانشانی نیز با یک مقدار نقاب شوند که احتمال کشف کلید با حمله تحلیل توان مرتبه دوم را افزایش می‌دهد [۲۵-۲۷].

شبه کد شکل ۲ را می‌توان به صورت معادلات (۲) و (۳) نوشت. در این معادلات ورودی، کلید و خروجی جعبه جانشانی به ترتیب با نمادهای x ، n و y نشان داده شده‌اند.

$$S(x \oplus n) = y \quad (2)$$

$$S'(x \oplus n \oplus n) = y \oplus m \quad (3)$$

در روش دوم نقاب‌گذاری (که چرخشی نامیده می‌شود) از دو جدول متفاوت برای نقاب‌گذاری جعبه جانشانی و جدول جست‌وجو استفاده می‌شود. جعبه جانشانی S' و جدول نقاب شده M به صورت معادلات (۴) و (۵) تعریف می‌شوند. همچنین شکل ۳ نمودار منطقی این روش

ثابت استفاده کرده است که این امر تنها موجب شده است تا برای یافتن کلید نیاز به حمله به دو دور از رمز باشد.

تمام مقاوم‌سازی‌های صورت گرفته روی رمز Midori64 به روش پیاده‌سازی آستانه‌ای بوده است. اما از آنجایی که این روش مقاوم‌سازی در حوزه سخت‌افزار بوده و قیمت تراشه‌هایی سخت‌افزاری مانند FPGA بیشتر از تراشه‌های میکروکنترلر است، بررسی پیاده‌سازی و مقاوم‌سازی این رمز برای پیاده‌سازی نرم‌افزاری حائز اهمیت است. در این مقاله برای اولین بار رمز Midori64 با روش نقاب‌گذاری مقاوم شده و بر روی میکروکنترلر AVR پیاده‌سازی شده است.

با توجه به تحقیقات انجام شده که در بالا مورد بررسی قرار گرفته‌اند، نوآوری‌های این مقاله شامل موارد زیر است،

- برای اولین بار یک نسخه رمز Midori64 روی میکروکنترلر AVR مدل Atmega32 پیاده‌سازی شده و مورد حمله متداول و استاندارد تحلیل توان همبستگی قرار گرفته و نشان داده شده است که با ۳۰۰ بلوک متن اصلی می‌توان کلید رمزنگاری را کشف کرد.
- روش استاندارد نقاب‌گذاری بولی جعبه‌های جانشانی برای اولین بار روی رمز Midori64 به کار رفته و نسخه محافظت شده مورد حمله تحلیل توان همبستگی قرار گرفته شده و نشان داده شده است که حتی با ۱۰۰۰ نمونه نیز نمی‌توان کلید را کشف کرد.

۲.۱ نقاب‌گذاری بولی

استفاده از این روش در سطح الگوریتم برای مقاوم‌سازی در برابر حملات تحلیل توان بیشتر مورد استفاده قرار گرفته است. معمولاً در این روش با استفاده از یک مقدار تصادفی (نقاب) مقادیر میانی را تصادفی می‌کنند. از آنجایی که مهاجم از مقدار نقاب اطلاع ندارد، نمی‌تواند به سادگی مرحله‌ی حدس مقادیر میانی برای انجام حمله تحلیل توان را انجام دهد و به این ترتیب رابطه‌ی بین توان مصرفی تراشه و کلید تا حد زیادی از نظر مهاجم مخفی می‌شود [۲۴].

یک نکته مهم در نقاب‌گذاری لزوم تصحیح اثر نقاب در خروجی هر مرحله از رمزنگاری است. در مؤلفه‌های خطی رمز این کار ساده است اما

جدول ۱. جعبه جانشانی 4×4 رمز Midori64

F	E	D	C	B	A	9	8	7	6	5	4	3	2	1	0	x
6	4	2	0	5	1	9	8	7	F	B	E	3	D	A	C	$S(x)$

جدول ۲. جایگشت ShuffleCell

F	E	D	C	B	A	9	8	7	6	5	4	3	2	1	0	i
3	4	D	A	6	1	8	F	C	B	2	5	9	E	7	0	$Sh(i)$

به روزرسانی می‌کنند.

در ابتدا کلید ۱۲۸ بیتی به دو زیربخش k_0 و k_1 تقسیم می‌شود ($= K$) در دور اول طبق معادله (۶) متغیر WK تشکیل می‌شود و با بلوک ۶۴ بیتی متن اصلی جمع بیتی می‌شود و یک خروجی ۶۴ بیتی تولید می‌شود. همچنین برای هر دور r زیر کلید مربوطه (RK_r) از کلید مخفی طبق معادله ی (۷) به دست می‌آیند.

$$WK = k_0 \oplus k_1 \quad (6)$$

$$RK_{r-1} = K_{(r-1 \bmod 2)} \oplus \alpha_{r-1} \quad (7)$$

در معادله ی (۷) برای هر دور مقدار ثابت α_r نیز معین است. همانطور که در شکل ۱ مشخص شده است، در دور اول مقدار WK با مقادیر S جمع بیتی می‌شود و خروجی حاصل وارد جعبه جانشانی^۱ (مرحله ی SubCell) می‌شود. جعبه ی جانشانی رمز Midori64، جعبه ای با ورودی ۴ بیت و خروجی ۴ بیت (جدول ۱) است.

سپس خروجی جعبه جانشانی وارد جایگشت (مرحله ی ShuffleCell) (جدول ۲) می‌شود.

پس از آن ماتریس حالت وارد مرحله ی MixColumn شده و با استفاده از ماتریس M و معادله (۸) به روزرسانی و وارد دور دوم می‌شود. این مراحل تا ۱۵ دور تکرار می‌شوند. خروجی دور ۱۵ بعد از XOR با زیرکلید دور مربوطه، وارد جعبه جانشانی دور بعدی می‌شود و خروجی این جعبه دوباره با زیرکلید دور اول (WK)، جمع بیتی می‌شود و بلوک رمزی را می‌سازد.

$$(s_i, s_{i+1}, s_{i+2}, s_{i+3})^T \leftarrow M(s_i, s_{i+1}, s_{i+2}, s_{i+3})^T \quad (8)$$

$$i \in \{0, 4, 8, 12\}$$

$$M = \begin{pmatrix} 0 & 1 & 1 & 1 \\ 1 & 0 & 1 & 1 \\ 1 & 1 & 0 & 1 \\ 1 & 1 & 1 & 0 \end{pmatrix}$$

۴.۱ حمله تحلیل توان

تحلیل توان مصرفی یک نوع حمله کانال جانبی است که به دنبال به دست آوردن اطلاعات مخفی با استفاده از ردیابی توان مصرفی تراشه در حال رمزنگاری است. این تحلیل از این حقیقت که توان لحظه‌ای مصرفی تراشه، به اطلاعات در حال پردازش و عملیات در حال اجرا بستگی دارد، بهره می‌برد. این حمله شامل سه نوع حمله تحلیل توان ساده^۲ و حمله

Input $m, n;$

Output: $S'(x+n)=S(x)+m;$

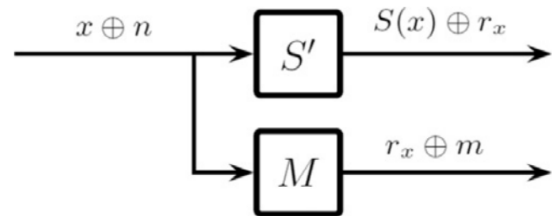
For $i=0$ to 15

$S'(i+n)=S(i)+m;$

End

Return $S'()$

شکل ۲. شبه کد محاسبه جعبه جانشانی بعد از نقاب گذاری Midori64



شکل ۳. نقاب گذاری چرخشی

نقاب گذاری را نشان می‌دهد.

$$S'(x \oplus n) = S(x) \otimes r_x \quad (4)$$

$$M(x \oplus n) = r_x \oplus m \quad (5)$$

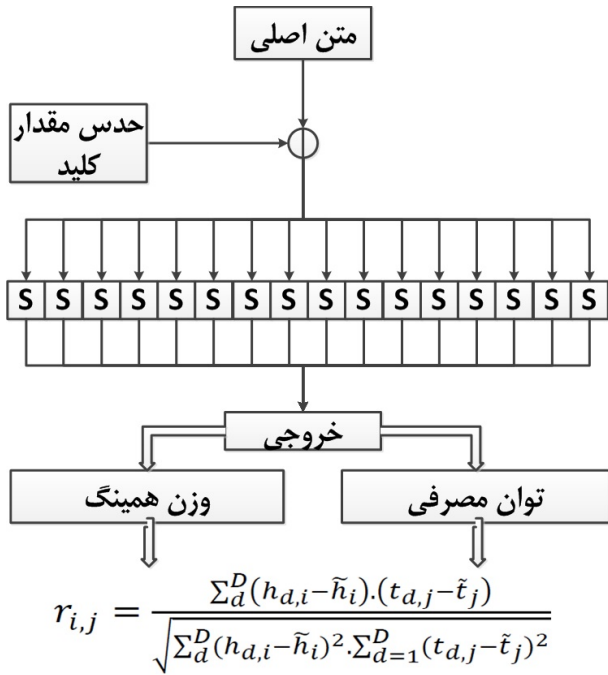
در این روش نقاب گذاری، ورودی جعبه جانشانی با مقدار نقاب n و خروجی آن با یک نقاب متغیر r_x جمع می‌شود. یک نوع خاص از این روش شامل N جدول نقاب است که برای تقسیم m به $N + 1$ سهم استفاده می‌شود و حمله تحلیل تون از مرتبه N را خنثی می‌کند [۱۰].

۳.۱ رمز سبک وزن Midori64

رمز Midori64 [۲] یک رمز قالبی سبک وزن با مصرف توان بسیار پایین است. ساختار کلی این رمز (شکل ۱) در دو قالب ۱۲۸ بیتی و ۶۴ بیتی با تعداد دور ۱۶ و ۲۰ ارائه شده است. در هر دو ساختار از کلید ۱۲۸ بیتی استفاده می‌شود. باتوجه به این که در این مقاله حمله تحلیل توان همبستگی روی نوع ۶۴ بیتی انجام شده است، در ادامه ساختار Midori64 به طور مختصر توضیح داده می‌شود.

در ابتدا بلوک‌های ۶۴ بیتی متن اصلی ورودی درون یک ماتریس 4×4 (شامل ۱۶ نیبل) به نام ماتریس حالت S قرار می‌گیرند. تمام پردازش‌های بعدی روی درایه‌های این ماتریس اجرا می‌شود و آن‌ها را

¹S-box ²SPA



شکل ۴. نقطه مورد نظر برای انجام حمله

پس از انجام مراحل بالا ۴ بیت از کلید به دست می‌آید. برای ۶۰ بیت باقی‌مانده از کلید باید مراحل بالا به تعداد ۱۵ دفعه‌ی دیگر تکرار شود. پس در مجموع تعداد $۱۶ \times ۲ = ۲۵۶$ محاسبه باید انجام شود.

قابل توضیح است که این ۴ بیت به دست آمده مقدار کلید اصلی نیست بلکه مقدار WK را نشان می‌دهد. پس از به دست آوردن مقدار WK باید در مرحله‌ی دوم حمله را روی دور دوم رمز انجام شود تا مقدار $k_i \oplus \alpha$ نیز به دست آید. بعد از به دست آمدن این مقدار و از آنجایی که مقدار α مشخص است، مقدار k_i و به تبع آن مقدار کلید اصلی رمز به دست خواهد آمد.

از آنجایی که در مدل امنیتی متن اصلی معلوم یا انتخابی زوج متن اصلی و متن رمزی مشخص است، بهترین نقطه برای انجام حمله دور اول (ورود متن اصلی) یا دور آخر (خروج متن رمزی) الگوریتم رمز است.

۳ طرح نقاب‌گذاری ارائه شده برای Midori64

طرح نقاب‌گذاری midori64 پیشنهادی این مقاله با انجام تغییراتی نسبت به طرح نقاب‌گذاری AES [۲۴] به دست آمده است. معصومی (۲۰۱۹) در [۲۴] یک روش مقاوم‌سازی کارآمد با استفاده از ترکیب جعبه‌های جانشانی تصادفی و یک روش نقاب‌گذاری بولی اصلاح شده معرفی کرد. او در این مقاله به پیاده‌سازی سخت‌افزاری AES مقاوم شده پرداخت و جعبه‌های جانشانی را با استفاده از روش جدول جستجو^۳ پیاده‌سازی نکرد. در مقاله حاضر پیاده‌سازی نرم‌افزاری و جعبه جانشانی به صورت جدول جستجو پیاده‌سازی شده است. البته جعبه‌های نقاب با توجه به عدد تصادفی نقاب

تحلیل توان تفاضلی^۱ و حمله تحلیل توان همبستگی است [۸]. در CPA با استفاده از معادله (۹) همبستگی بین ماتریس توان‌های اندازه‌گیری شده از تراشه هنگام اجرای عملیات رمزنگاری و ماتریس توان‌های فرضی (که با استفاده از وزن همینگ داده‌ها پس از XOR با کلید و عبور از جعبه جانشانی رمز، تشکیل می‌شود) گرفته و ماتریس r تشکیل می‌شود. ستونی که بیشترین مقدار این ماتریس در آن قرار دارد، برابر یک بایت از کلید است.

$$r_{i,j} = \frac{\sum_d^D (h_{d,i} - \tilde{h}_i) \cdot (t_{d,j} - \tilde{t}_j)}{\sqrt{\sum_d^D (h_{d,i} - \tilde{h}_i)^2 \cdot \sum_{d=1}^D (t_{d,j} - \tilde{t}_j)^2}} \quad (9)$$

در رابطه (۹) ماتریس توان فرضی است که با استفاده از وزن همینگ داده‌ها به ازای کلیدهای فرضی متفاوت به دست می‌آید. t ماتریس توان‌های اندازه‌گیری شده است. \tilde{h}_j و \tilde{t}_j نیز به ترتیب مقادیر میانگین ماتریس‌های h و t هستند. D نیز تعداد نمونه‌های توان است که به ازای متن‌های اصلی مختلف (D متن اصلی مختلف) به دست می‌آید.

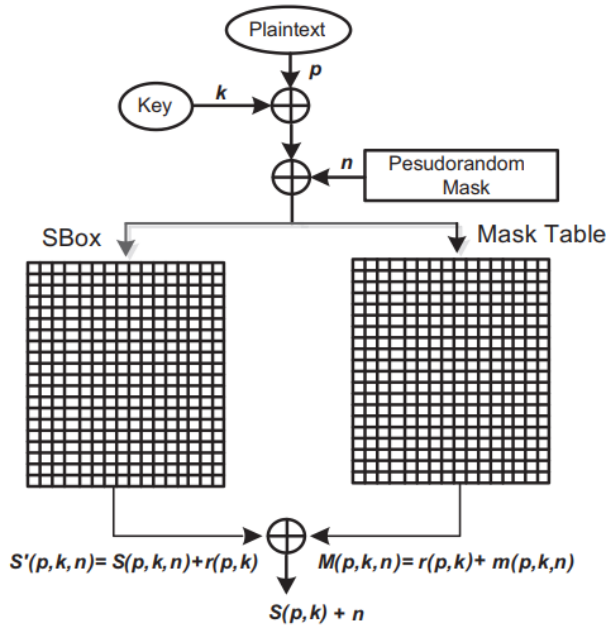
در ادامه این مقاله در بخش ۲ یک روش برای اجرای حمله‌ی تحلیل توان روی Midori64 ارائه می‌شود. در بخش ۳ به بیان طرح نقاب ارائه شده برای نقاب‌گذاری Midori64 و نحوه‌ی اجرای آن پرداخته خواهد شد. بخش ۴ این مقاله مربوط به نتایج حاصل از آزمایشات انجام شده روی نسخه‌های پیاده‌سازی رمز Midori64 قبل از نقاب‌گذاری و بعد از نقاب‌گذاری است. در بخش ۵ این مقاله نیز نتایج حاصل از این تحقیق مرور شده است.

۲ حمله CPA به رمز Midori64

همانطور که در بخش ۳.۱ توضیح داده‌شد، قالب ورودی رمز Midori64 وارد یک ماتریس 4×4 می‌شود و تمام تغییرات روی آن اجرا می‌شود. هر درایه این ماتریس نیز ۴ بیتی است که از جعبه‌های 4×4 بیتی عبور می‌کنند. پس ۱۶ جعبه جانشانی در این رمز وجود دارد. بنابراین برای به دست آوردن کلید به صورت ۴ بیت به ۴ بیت عمل می‌کنیم و در هر مرحله ۴ بیت از کلید را به دست می‌آوریم. شکل ۳ نحوه‌ی اجرای حمله را نشان می‌دهد. همانگونه که در شکل ۴ نشان داده شده است برای به دست آوردن کلید از وزن همینگ خروجی جعبه جانشانی به عنوان مدل شبیه‌سازی توان استفاده شده است.

از آنجایی که جعبه‌های این رمز ۴ بیتی هستند، برای به دست آوردن کلید نیبل^۲ به نیبل عمل می‌شود. هر ۴ بیت ۱۶ حالت مختلف دارد که به ازای تمامی آن‌ها خروجی جعبه حدس زده شده و وزن همینگ آن محاسبه می‌شود. در صورتی که حدس کلید درست باشد، یکی از مقادیر یک ستون از ماتریسی که رابطه‌ی همبستگی پیرسون معادله (۹) می‌سازد، مقدارش بیشتر از بقیه می‌شود. در نتیجه شماره ستونی که این مقدار را نشان می‌دهد، ۴ بیت از کلید مورد نظر است.

^۳look-up table^۱DPA ^۲nibble



شکل ۶. بلوک دیاگرام طرح نقاب گذاری روی Midori64 [۲۴]

است)، جمع می‌شود. نشان داده شده است که برای میکروکنترلرها، انتقال داده مانند بارگذاری و ذخیره، بیشترین اطلاعات را در مقایسه با دستورالعمل‌های حسابی و منطقی فاش می‌کند [۲۷]. برای جلوگیری از معایب نقاب‌های ثابت و تقویت نقاب‌گذاری، می‌توان مقادیر تصادفی را بین عملیات‌های پی‌درپی به روز کرد، به طوری که نقاب‌ها و اعداد تصادفی m_t ، n_t و r_t تابع زمانی از t باشند. با این حال، برای کاهش سربار اجرا و حفظ مزیت عملکرد نسبت به سایر روش‌های نقاب‌گذاری، لازم نیست مقادیر نقاب (n, m) در هر بار رمزگذاری تغییر کند و کافی است مقدار تصادفی r تغییر داده شود، زیرا بر اساس معادلات (۱۰) تا (۱۳)، مقادیر S ، جعبه جانشانی اصلی تغییر نمی‌کند. همچنین مقدار تصادفی توسط یک ثبات خطی انتقال^۱ تولید می‌شود. لازم به ذکر است که بر خلاف روش مرسوم، $S(x) + m$ به طور مستقیم در پیاده‌سازی پیشنهادی محاسبه نمی‌شود. برای سادگی، نقاب‌های ورودی و خروجی را می‌توان با یکدیگر برابر دانست.

لازم به ذکر است که الگوریتم رمزنگاری همراه مقاوم‌سازی، فقط یک بار در دستگاه ذخیره می‌شود و حتی هنگام محاسبه جداول نقاب دار جدید نیز، نیازی به تغییر ندارد. نقاب گذاری جداول قبل از بارگیری جداول رمزنگاری بر روی دستگاه انجام می‌شود، از این رو مهاجم به m و n دسترسی ندارد. از آنجا که جداول فقط یک بار تولید می‌شوند، این مقدار m همراه با نقاب کلیدهای دور برای محاسبه جداول قبل از بارگیری جداول رمزنگاری در دستگاه استفاده می‌شود. شکل ۶ بلوک دیاگرام این طرح نقاب‌گذاری را نشان می‌دهد.

Input: m, n :

Output: $S(x)+m$;

For $i=0$ to 15 do

$S'(i)=S(i)+r(i)+m$

End

For $i=0$ to 15 do

$M[(i+n) \bmod 15]=S(i)+S(i+n)+r(i)$

End

$S(p+k)+m=M(p+k+n)+S'(p+k+n)$

End

Return $S(x)+m$

شکل ۵. شبه کد نقاب‌گذاری Midori64

در هر دور محاسبه می‌شوند. این طرح یک روش بهبود یافته از روش نقاب‌گذاری چرخشی است که در آن هم سربار محاسبه‌ی مجدد جدول نقاب کاهش یافته و هم برخی ضعف‌های امنیتی آن برطرف شده است. در این روش به جای استفاده از معادلات (۲) و (۳) از معادلات (۱۰) تا (۱۳) به شرح زیر استفاده می‌شود.

$$S'(p \oplus k \oplus n) = r(p \oplus k) \oplus S(p \oplus k \oplus n) \oplus m \quad (10)$$

$$m(p \oplus k \oplus n) = S(p \oplus k \oplus n) \oplus S(p \oplus k) \quad (11)$$

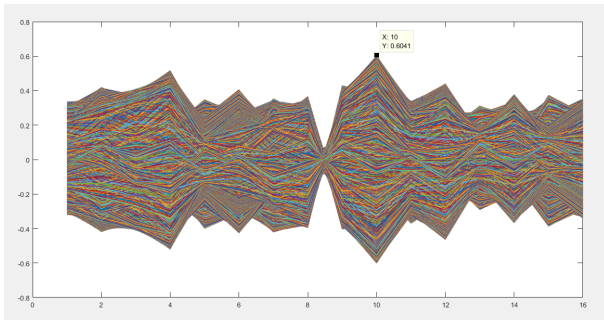
$$M(p \oplus k \oplus n) = r(p \oplus k) \oplus m(p \oplus k \oplus n) \quad (12)$$

$$S(p, k) \oplus m = S'(p \oplus k \oplus n) \oplus M(p \oplus k \oplus n) \quad (13)$$

که در آن‌ها M جدول نقاب پیش‌محاسبه شده است. m و n هم به ترتیب نقاب‌های ورودی و خروجی هستند. در شکل ۵ شبه کد این روش نشان داده شده است.

در آغاز عملیات رمزنگاری هر بلوک متن اصلی با یک مقدار تصادفی n نقاب می‌شود. سپس جدول نقاب مربوطه که شامل تفاوت بین مقدار خروجی واقعی جعبه جانشانی و خروجی جعبه جانشانی نقاب شده است، تولید می‌شود. هر عضو در جعبه جانشانی و عضو مربوط به آن در جدول نقاب با یک مقدار تصادفی (که برای هر مقدار آدرس جدول متفاوت

¹LFSR



شکل ۷. نمایش نتیجه حاصل از اجرای حمله تحلیل توان همبستگی روی داده‌های توان به دست آمده از طریق اسیلوسکوپ در نرم‌افزار Matlab (کلید ۱۰ به دست آمده است).

جدول ۳. مقایسه کارایی بین حجم کد در حالت محافظت شده و نسخه معمولی رمز

حجم کد		نام رمز
نسخه محافظت شده	نسخه اصلی	Midori64
۱۹۶۹ بایت	۱۷۴۸ بایت	

اعداد انواع کلیدها هستند که به ازای هر کلید با توجه به ورودی مشخص، وزن همینگ خروجی جعبه جانشانی محاسبه می‌شود.

سپس ماتریسی تشکیل می‌شود که با ماتریس توان‌های مصرفی به ازای همان نمونه‌های ورودی، وارد رابطه‌ی پیرسون (معادله ۹)) می‌شود. شکل ۷ نمودار همبستگی بین توان مصرفی و توان فرضی مدل‌سازی شده توسط وزن همینگ است. در این نمودار به ازای حدس کلید درست بیشترین همبستگی بین دو ماتریس یاد شده اتفاق می‌افتد که این سبب بیشینه بودن نمودار در نقطه‌ی ۱۰ شده است. به عبارت دیگر بیشترین میزان همبستگی بین توان فرضی محاسبه شده با کلید ۱۰ توسط مدل وزن همینگ و توان مصرفی تراشه رمزنگار در مقدار ۱۰ اتفاق افتاده است.

۳.۴ نتایج حمله مرتبه اول به نسخه محافظت شده Midori64

بعد از اجرای طرح نقاب‌گذاری روی Midori64، ارزیابی آن در مقابل حمله‌ی تحلیل توان همبستگی انجام شد. در جدول ۳ حجم کد نسخه محافظت شده‌ی Midori64 و نسخه اصلی بدون نقاب این رمز مقایسه شده است. همان‌گونه که دیده می‌شود در ازای افزایش اندک حجم کد (حدود ۲۲۰ بایت) روی میکروکنترلر، مقاومت در برابر تحلیل توان مرتبه اول حاصل شده است. به عبارت دیگر قبل از اجرای طرح نقاب‌گذاری Midori64 با حمله تحلیل توان کلید این رمز با ۳۰۰ نمونه توان به دست آمده، در حالی که بعد از اجرای طرح نقاب‌گذاری رمز Midori64 با اجرای حمله تحلیل توان حتی با ۱۰۰۰ نمونه توان نیز کلید رمزنگاری به دست نیامد.

شکل ۸ نتیجه حاصل از اجرای CPA بر Midori64 نقاب‌گذاری شده را نشان می‌دهد. در این شکل برخلاف شکل ۷ که حمله به نسخه بدون نقاب Midori64 است، نموداری از نمودارها در کلید خاصی بالاتر نیست که این نشان می‌دهد الگوریتم رمز به صورت درستی مقاوم‌سازی شده است.

۴ نتایج آزمایشات

در این قسمت چیدمان آزمایش، ابزارها و تجهیزات مورد استفاده و نتایج حاصل از پیاده‌سازی عملی طرح نقاب‌گذاری و حمله تحلیل توان ارائه می‌شود.

۱.۴ چیدمان آزمایش

برای انجام این حمله رمز Midori64 را روی برد با تراشه AVR مدل Atmega32 پیاده‌سازی کردیم. برای به دست آوردن توان مصرفی تراشه هنگام انجام عملیات رمزنگاری در پایه خروجی رمز از میکروکنترلر، یک مقاومت یک اهمی روی برد قرار گرفته است. جریان خروجی از میکرو پس از عبور از این مقاومت طبق رابطه‌ی $P = RI^2$ به صورت توان‌های مصرفی در اسیلوسکوپ ذخیره می‌شود. برای کاهش اختلال^۱ از متصل‌کننده^۲ SMA روی برد استفاده شده است.

پس از نوشتن کد C رمز Midori64 روی تراشه، برد به اسیلوسکوپ و رایانه متصل می‌شود و از طریق رایانه، متن تصادفی به برد ارسال می‌شود. پس از انجام عملیات رمزنگاری توسط تراشه، مقادیر رمز شده برای رایانه ارسال می‌شود. در صورت انطباق مقدار متن رمزی حاصل از برد و رایانه، رایانه یک دستور به اسیلوسکوپ جهت ذخیره مقادیر توان اندازه‌گیری شده ارسال می‌کند.

پس از انجام این عملیات مقادیر ذخیره شده روی اسیلوسکوپ (که به صورت فایل‌های CSV هستند) را با فلش به رایانه منتقل کرده و توسط نرم‌افزار متلب نسخه 2016b حمله‌ی تحلیل توان همبستگی طبق معادله‌ی (۹) و مراحل توضیح داده شده در بخش ۳.۱، روی این داده‌ها انجام می‌شود.

۲.۴ نتایج حمله مرتبه اول به Midori64

به طور کلی ۱۶ مقدار (از ۰ تا ۱۵) را می‌توان به ورودی یک جعبه جانشانی 4×4 داد. ورودی رمز به صورت تصادفی تولید شد تا باعث تغییر بیشتر رجیسترهای درون میکرو شده و از این طریق نتش توان بیشتر شود. داده‌های ورودی اعداد ۴ بیتی (از صفر تا ۱۵) هستند که توسط نرم‌افزار متلب تولید شده‌اند. از آنجایی که تابع rand در نرم‌افزار Matlab اعداد تصادفی یکنواخت تولید می‌کند، می‌توان فرض کرد توزیع ورودی یکنواخت است.

در انتهای آزمایش کلید رمزنگاری یعنی مقدار WK با ۳۰۰ نمونه متن اصلی ورودی به دست آمد. شکل ۷ نمودار همبستگی توان فرضی و توان مصرفی واقعی را نشان می‌دهد. همان‌گونه که در ابتدا بیان شد در این حمله برای مدل‌سازی توان مصرفی فرضی از مدل وزن همینگ استفاده شده است. محور افقی این نمودار اعداد ۱ تا ۱۶ را نشان می‌دهد. این

¹noise ²connector

به این معنی است که هرکدام از ۱۰۰۰ نمونه ۲۵۶ بار تکرار شده و پس از میانگین‌گیری توسط اسیلوسکوپ، نتیجه نهایی در یک فایل CSV ذخیره شود.

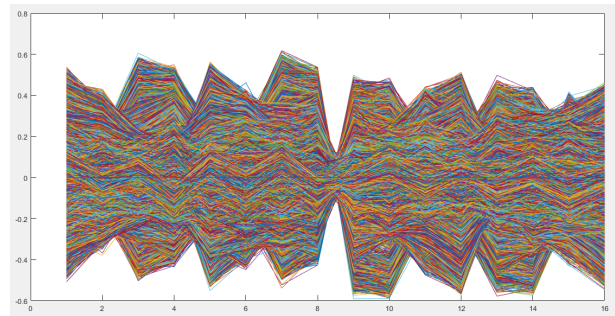
۵ نتیجه

در این مقاله یک طرح نقاب‌گذاری روی رمز Midori64 اجرا شده است. برای ارزیابی کارایی طرح نقاب‌گذاری، یک بار قبل از نقاب‌گذاری و یک بار بعد از آن حمله تحلیل توان روی نسخه‌های پیاده‌سازی شده انجام شده است. نتایج به دست آمده از آزمایشات نشان می‌دهد، حمله انجام شده می‌تواند کلید رمز Midori64 را قبل از نقاب‌گذاری با ۳۰۰ نمونه کشف کند در حالی که پس از نقاب‌گذاری حتی با ۱۰۰۰ نمونه نیز قادر به کشف کلید نبوده است.

در این حمله برای برای به دست آوردن WK به جعبه‌های جاننشانی دور اول رمز و برای به دست آوردن k و در نتیجه کلید اصلی به جعبه‌های جاننشانی دور دوم رمز، حمله انجام شد. در نسخه قبل از نقاب‌گذاری، پیچیدگی داده مورد نیاز حمله فقط ۳۰۰ نمونه متن اصلی بوده و کلید رمز Midori64 به دست آمده است. بر اساس اطلاعات موجود، این تعداد نمونه متن اصلی کمتر از تعداد نمونه متن اصلی به کار رفته در حمله‌ی تحلیل الکترومغناطیس [۷] است. در نسخه‌ی محافظت شده (در ازای اضافه شدن ۲۲۱ بایت به حجم کد نوشته شده) حتی با ۱۰۰۰ نمونه داده شده مورد نیاز حمله قادر به کشف کلید اصلی نبوده که نشان می‌دهد طرح نقاب‌گذاری کارایی مناسب داشته و رمز را در مقابل حمله تحلیل توان همبستگی مرتبه اول مقاوم کرده است.

مراجع

- [1] Pa, Yin Minn Pa, Suzuki, Shogo, Yoshioka, Katsunari, Matsumoto, Tsutomu, Kasama, Takahiro, and Rossow, Christian. {IoT POT}: Analysing the rise of {IoT} compromises. in *9th USENIX Workshop on Offensive Technologies (WOOT 15)*, 2015.
- [2] Banik, Subhadeep, Bogdanov, Andrey, Isobe, Takanori, Shibutani, Kyoji, Hiwatari, Harunaga, Akishita, Toru, and Regazzoni, Francesco. Midori: A block cipher for low energy. in *International Conference on the Theory and Application of Cryptology and Information Security*, pp. 411–436. Springer, 2015.
- [3] Bogdanov, Andrey, Knudsen, Lars R, Leander, Gregor, Paar, Christof, Poschmann, Axel, Robshaw, Matthew JB, Seurin, Yannick, and Vikkelsoe, Charlotte. Present: An ultra-lightweight block cipher. in *International workshop on cryptographic hardware and embedded systems*, pp.



شکل ۸. نتیجه حاصل از اعمال CPA به Midori64 نقاب‌گذاری شده

در این رمز کلید روی ۱۲ تنظیم شده بود، اما همانگونه که مشاهده می‌کنید با انجام حمله CPA موفق به کشف کلید نشده است که نشان‌دهنده‌ی امنیت و کارایی طرح نقاب‌گذاری پیشنهادی این مقاله است.

۴.۴ تحلیل نتایج آزمایشات

شکل ۷ نمودار همبستگی توان فرضی و توان مصرفی واقعی را نشان می‌دهد. همان‌گونه که در ابتدا بیان شد در این حمله برای مدل‌سازی توان مصرفی فرضی از مدل وزن همینگ استفاده شده است. محور افقی این نمودار اعداد ۱ تا ۱۶ را نشان می‌دهد. این اعداد انواع کلیدها هستند که به ازای هر کلید با توجه به ورودی مشخص، وزن همینگ خروجی جعبه جاننشانی محاسبه می‌شود.

سپس ماتریسی تشکیل می‌شود که با ماتریس توان‌های مصرفی به ازای همان نمونه‌های ورودی، وارد رابطه‌ی پیرسون (معادله (۹)) می‌شود. شکل ۷ نمودار همبستگی بین توان مصرفی و توان فرضی مدل‌سازی شده توسط وزن همینگ را نشان می‌دهد. در این نمودار به ازای حدس کلید درست، بیشترین همبستگی بین دو ماتریس یاد شده اتفاق می‌افتد که این سبب بیشینه بودن نمودار در نقطه‌ی ۱۰ شده است. به عبارت دیگر بیشترین میزان همبستگی بین توان فرضی محاسبه شده با کلید ۱۰ توسط مدل وزن همینگ و توان مصرفی تراشه رمزنگار در مقدار ۱۰ اتفاق افتاده است.

در شکل ۸ نتیجه اجرای حمله تحلیل توان به نمونه‌های توان نسخه محافظت شده Midori64 نشان داده شده است. در این حمله با ۱۰۰۰ نمونه توان نیز کلید کشف نشده است. طرح نقاب‌گذاری در ازای اضافه شدن ۲۲۱ بایت به حجم کد نوشته شده به دست آمده است و نشان‌دهنده کارایی طرح است.

یک نکته حائز اهمیت در اجرای حمله بستر اجرای حمله بود. در این حمله از اسیلوسکوپ Keysight Infiniium مدل DSO90604A استفاده شد. این دستگاه قابلیت این را دارد که تعداد تکرار آزمایش را درون دستگاه مشخص کرده و پس از انجام تکرار به ازای عدد مشخص شده توسط کاربر، از توان‌های اندازه‌گیری شده به ازای یک نمونه میانگین‌گیری کند و این نتیجه را ذخیره کند. این عمل سبب می‌شود نویز توان اندازه‌گیری شده پایین‌تر بیاید. در این حمله تعداد تکرار روی ۲۵۶ تنظیم شده بود. این

- Mentens, Nele. Lightweight ciphers and their side-channel resilience. *IEEE Transactions on Computers*, 69(10):1434–1448, 2017.
- [15] Mangard, Stefan, Popp, Thomas, and Gammel, Berndt M. Side-channel leakage of masked cmos gates. in *Cryptographers' Track at the RSA Conference*, pp. 351–365. Springer, 2005.
- [16] Nikova, Svetla, Rechberger, Christian, and Rijmen, Vincent. Threshold implementations against side-channel attacks and glitches. in *International conference on information and communications security*, pp. 529–545. Springer, 2006.
- [17] Blakley, George Robert. Safeguarding cryptographic keys. in *Managing Requirements Knowledge, International Workshop on*, pp. 313–313. IEEE Computer Society, 1979.
- [18] Shamir, Adi. How to share a secret. *Communications of the ACM*, 22(11):612–613, 1979.
- [19] Desmedt, Yvo. Some recent research aspects of threshold cryptography. in *International Workshop on Information Security*, pp. 158–173. Springer, 1997.
- [20] Yao, Andrew C. Protocols for secure computations. in *23rd annual symposium on foundations of computer science (sfcs 1982)*, pp. 160–164. IEEE, 1982.
- [21] Moradi, Amir and Schneider, Tobias. Side-channel analysis protection and low-latency in action. in *International Conference on the Theory and Application of Cryptology and Information Security*, pp. 517–547. Springer, 2016.
- [22] Shahmirzadi, Aein Rezaei and Moradi, Amir. Re-consolidating first-order masking schemes: Nullifying fresh randomness. *IACR Transactions on Cryptographic Hardware and Embedded Systems*, pp. 305–342, 2021.
- [23] Knichel, David, Sasdrich, Pascal, and Moradi, Amir. Silver—statistical independence and leakage verification. in *International Conference on the Theory and Application of Cryptology and Information Security*, pp. 787–816. Springer, 2020.
- [24] Masoumi, Massoud. A highly efficient and secure hardware implementation of the advanced encryption standard. *Journal of Information Security and Applications*, 48:102371, 2019.
- [25] DeTrano, Alexander, Guilley, Sylvain, Guo, Xiaofei, Karimi, Naghmeh, and Karri, Ramesh. Exploiting small 450–466. Springer, 2007.
- [4] Suzuki, Tomoyasu, Minematsu, Kazuhiko, Morioka, Sumio, and Kobayashi, Eita. Twine: A lightweight, versatile block cipher. in *ECRYPT workshop on lightweight cryptography*, vol. 2011, 2011.
- [5] Beaulieu, Ray, Shors, Douglas, Smith, Jason, Treatman-Clark, Stefan, Weeks, Bryan, and Wingers, Louis. The simon and speck families of lightweight block ciphers. *cryptology eprint archive*, 2013.
- [6] Yang, Gangqiang, Zhu, Bo, Suder, Valentin, Aagaard, Mark D, and Gong, Guang. The simeck family of lightweight block ciphers. in *International Workshop on Cryptographic Hardware and Embedded Systems*, pp. 307–329. Springer, 2015.
- [7] Yoshikawa, Masaya and Nozaki, Yusuke. Electromagnetic analysis method for ultra low power cipher midori. in *2017 IEEE 8th Annual Ubiquitous Computing, Electronics and Mobile Communication Conference (UEMCON)*, pp. 70–75. IEEE, 2017.
- [8] Mangard, Stefan, Oswald, Elisabeth, and Popp, Thomas. *Power analysis attacks: Revealing the secrets of smart cards*, vol. 31. Springer Science & Business Media, 2008.
- [9] Fujino, Takeshi, Kubota, Takaya, and Shiozaki, Mitsuru. Tamper-resistant cryptographic hardware. *IEICE Electronics Express*, 14(2):20162004–20162004, 2017.
- [10] Coron, Jean-Sébastien. Higher order masking of look-up tables. in *Annual International Conference on the Theory and Applications of Cryptographic Techniques*, pp. 441–458. Springer, 2014.
- [11] Pan, Jing, Den Hartog, Ji, and Lu, Jiqiang. You cannot hide behind the mask: Power analysis on a provably secure s-box implementation. in *International Workshop on Information Security Applications*, pp. 178–192. Springer, 2009.
- [12] Tunstall, Michael, Whitnall, Carolyn, and Oswald, Elisabeth. Masking tables—an underestimated security risk. in *International Workshop on Fast Software Encryption*, pp. 425–444. Springer, 2013.
- [13] Eisenbarth, Thomas, Kumar, Sandeep, Paar, Christof, Poschmann, Axel, and Uhsadel, Leif. A survey of lightweight-cryptography implementations. *IEEE Design & Test of Computers*, 24(6):522–533, 2007.
- [14] Heuser, Annelie, Picek, Stjepan, Guilley, Sylvain, and

leakages in masks to turn a second-order attack into a first-order attack. in *Proceedings of the Fourth Workshop on Hardware and Architectural Support for Security and Privacy*, pp. 1–5, 2015.

- [26] Canright, D. Avoid mask re-use in masked galois multipliers. *Cryptology ePrint Archive*, 2009.
- [27] Bayrak, Ali Galip, Regazzoni, Francesco, Brisk, Philip, Standaert, François-Xavier, and Ienne, Paolo. A first step towards automatic application of power analysis countermeasures. in *2011 48th ACM/EDAC/IEEE Design Automation Conference (DAC)*, pp. 230–235. IEEE, 2011.

Presented at the ISCISC 2021 in University of Isfahan, Isfahan, Iran

Masking Midori64 against Correlation Power Analysis Attack★

Hamid Ghanbari*, Behrooz Khadem and Mohammad Jadidi

Faculty of Computer and Cyber security, Imam Hossein University (AS), Tehran, Iran

ARTICLE INFO.

Keywords:

internet of things
Midori64 block cipher
correlation power analysis
masking

dor: 20.1001.1.24763047.1401.11.1.5.2

Type: research paper

ABSTRACT

The use of lightweight and light weight block ciphers in the Internet of Things is inevitable. Recently, Midori64 has received a lot of attention among other lightweight ciphers due to its very low power consumption. Midori64 security has been threatened by various attacks, including side channel attacks. One of the types of side channel attacks is correlation power analysis, in which an attacker can discover the encryption key by using the power leak of the cryptographic chip while the algorithm is running, data being processed and operations being executed. Masking against power analysis attacks is known as one of the most effective methods of cryptographic algorithms. The purpose of the mask is to disrupt the relationship between power consumption and ongoing operations. In this paper, an implemented version of the Midori64 code on an Atmega32 AVR micro-controller is attacked by correlation power analysis, and an encryption key with 300 blocks of plain text is discovered. After masking the Midori64 with the Boolean masking method, the attack was performed again, and the experimental results showed that the Boolean masking method could prevent key discovery.

© 2022 ISC

★ The ISCISC 2021 Program Committee effort is highly acknowledged for reviewing this paper.

* Corresponding author

Email addresses: 9714109245@ihu.ac.ir (Hamid Ghanbari), bkhadem@ihu.ac.ir (Behrooz Khadem), mohammad.jadidi@gmail.com (Mohammad Jadidi)

© 2022 ISC. All rights reserved.